



اثر انرژی لیزر پالسی بر مشخصات نانوذرات آلومینیوم تولید شده به روش کندوسوز لیزری در محیط آب مقطر

مژگان عباسی و داود درانیان

آزمایشگاه لیزر، مرکز تحقیقات فیزیک پلاسماء، واحد علوم و تحقیقات دانشگاه آزاد اسلامی، تهران، ایران

چکیده - خواص و ایسته به اندازه نانوذرات کاربردهای گسترده‌ای دارد. کندگی لیزری یکی از روش‌های بسیار تمیز و مؤثر در سنتز نانوذرات است. در این تحقیق روش کندگی لیزری با لیزر Nd:YAG پالسی مطرح شده و سنتز نانوذرات رسانای آلومینیوم در آب مقطر تشریح شده است و تغییر مشخصه‌های نانوذرات در قبال تغییر انرژی پالس لیزر را به صورت تجربی مطالعه کرده‌ایم. نانوبولورهای آلومینیوم در اثر کندگی هدف، درون آب به صورت محلول معلق تولید می‌شوند. تشکیل نانوبولورها به وسیله تصویربرداری میکروسکوپ الکترونی مورد تأیید قرار گرفته است. طیف جذب اپتیکی محلول کلوبیدی حاوی نانوذرات گرفته شده است و نیز نرخ تولید نانوذرات در آب مقطر اندازه‌گیری شده است.

کلید واژه- کندوسوز لیزری، نانوذرات آلومینیوم، شدت لیزر

Effect of laser pulse energy on the characteristics of Al nanoparticles generated with laser ablation method in liquid medium

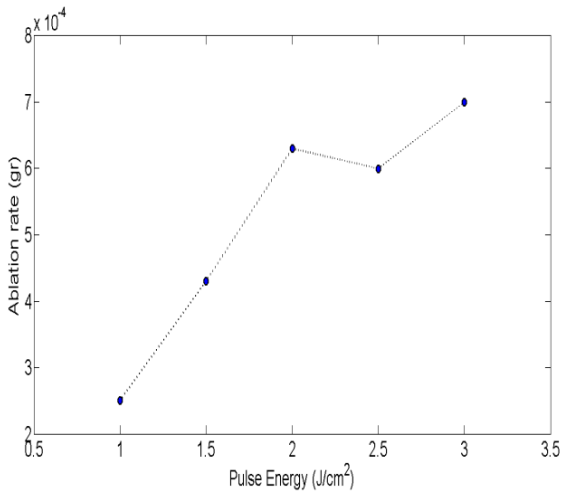
Mozhgan Abbasi, Davoud Dorranian

Laser Laboratory, Plasma Physics Research Center, Science and Research Branch, Islamic Azad University,
Tehran, Iran

Abstract- In this research nanoparticles were prepared by pulse laser ablation (PLA) of a high purity aluminum bulk in distilled water. The pulse of a Q-switched Nd:YAG laser of 1064nm wavelength has been used with pulse width of 7 ns and 10 Hz repetition rate. Aluminum bulk was placed on the bottom of water contain that height of water on the aluminum target was 1.2 cm. Aluminum target was ablated with 500 laser pulses at different fluencies. Samples 1-5 were prepared with laser pulse fluencies of, 1, 1.5, 2, 2.5, and 3 J/cm² respectively. Formation of nanocrystals has been confirmed by electron microscopy imaging. Optical absorption spectra of colloidal nanoparticles have been and the production rate of nanoparticles in water has been measured.

Keywords: Laser ablation, Aluminum nanoparticles, Laser intensity

جرم کنده شده از هدف هستیم، ولی در نمونه‌های ۴ و ۵ این افزایش به نرمی صورت می‌گیرد. کاهش ناچیز جرم کندوسوز شده در نمونه ۴ نسبت به نمونه ۳ احتمالاً ناشی از خطای آزمایش می‌باشد.



شکل ۱- منحنی تغییر نرخ کندوسوز بر حسب تغییر انرژی پالس لیزر

۲-۳ نتایج حاصل از طیفسنجی جذبی

در این تحقیق طیفسنجی جذبی در ناحیه UV-Vis-IR مورد استفاده قرار گرفت. دستگاه طیفسنج جذبی مورد استفاده قادر است جذب محلول‌های کلوئیدی در ناحیه ۱۱۰۰-۲۰۰۰ nm را بررسی نماید. برای گرفتن طیف، نمونه در یک کوت از جنس کوارتز به ضخامت ۱ cm قرار داده شد. برای تهیه طیف‌ها آب خالص به عنوان مبنای مورد استفاده قرار گرفت. پیک جذب پلاسمونی نانوذره آلومینیوم در گزارش‌ها هم در حوالی ۲۰۰ nm و هم در حوالی ۳۰۰ nm گزارش شده است [۳]، ولی همچنان که در طیف مشاهده می‌شود پیک‌های جذبی به دست آمده نمونه‌های ما با گزارش‌های دوم مطابقت دارند، این محدوده طول موجی پیک پلاسمونی مربوط به جذب تشدید پلاسمونی نانوذرات آلومینیوم می‌باشد. دلیل این تفاوت مطابق تئوری پراکندگی مای-درود شیفت قرمز پیک جذب پلاسمونی نانوذرات به دلیل افزایش اندازه آن‌ها و شیفت آبی آن‌ها به دلیل کاهش اندازه است. مطابق مدل‌های موجود از جمله نظریه مای-درود مکان پیک جذبی تشدید پلاسمونی نانوذرات تابع دقیقی از اندازه آنهاست. مکان این قله برای نمونه‌های ما در جدول ۱ درج شده است. پیک جذب پلاسمونی نانوذرات آلومینیوم تولید شده در محدوده ۲۵۸-۳۰۹ nm ایجاد شده است. آنچنان

فناوری نانو توانایی به دست گرفتن کنترل ماده در ابعاد نانو و بهره‌برداری از خواص آن در ابزارها و سیستم‌های نوین است. یکی از تمیزترین روش‌های سنتز نانوذرات، استفاده از لیزر است. در سنتز نانوذرات به روش‌های شیمیایی معمولاً پسماندهای مضری ایجاد می‌شود و محصول نیز ناخالص است. در این تحقیق به نتایج آزمایش کندوسوز لیزری و آنالیزهای مربوطه پرداخته می‌شود و نتایج حاصل از سنتز نانوذرات آلومینیوم به روش کندوسوز لیزری در محیط آب مقطر و نیز مشخصه‌یابی آن مورد بررسی قرار خواهد گرفت [۱، ۲].

۲- چیدمان تجربی برپایی آزمایش

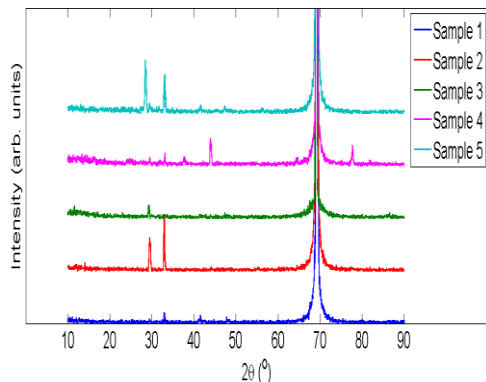
به منظور سنتز نانوذرات آلومینیوم یک قطعه آلومینیوم با خلوص ۹۹٪ در انتهای بشري حاوی ۲۰ ml آب مقدار به عنوان هدف در نظر گرفته شده است و تحت تابش لیزر Nd:YAG با طول موج ۱۰۶۴ nm و با زمان پالس کمتر از ۳ ns، بسامد ۱۰ Hz و شدت‌های ۱/۵، ۲، ۲/۵، ۲، و ۳ (J/cm²) قرار گرفته است. نمونه‌های تولید شده را در دستگاه سنجش طیف‌های جذبی (UV-Visible) قرار دادیم تا مشخصات اپتیکی مانند بیشینه جذب پلاسمونی را بررسی کنیم. همچنین در این پژوهش از آنالیزهای میکروسکوپ الکترون روبشی (SEM) برای مشخص کردن اندازه و مورفولوژی نانوذرات استفاده شد.

۳- نتایج و بحث

۳-۱ اندازه‌گیری نرخ تولید نانوذرات

در این قسمت با توزین دقیق هدف آلومینیومی قبل و بعد از کند و سوز به اندازه‌گیری جرم کنده شده از آن پرداختیم. جزئیات پارامترهای انتخابی لیزر و نتایج توزین کاهش جرم هدف در شکل ۱ آورده شده است. دقت ترازو در این توزین ۱۰⁻۴ گرم بود. در این تحقیق انتظار داشتیم از نمونه ۱ به ۵ جرم کاهش یافته هدف افزایش یابد، این موضوع در اندازه‌گیری‌های ما مشاهده می‌شود. به طور متوسط می‌توان گفت به ازای هر ۵۰۰ پالس لیزر در محیط کندوسوز حدود ۱۰⁻۴ گرم از جرم هدف کاسته شده است. با توجه به شکل ۱ با افزایش شدت لیزر از ۱ J/cm² تا ۲ J/cm² شاهد افزایش چشمگیری در مقدار

مشاهده شده در ۶۹۰ مربوط به زیر لایه سیلیکون میباشد. متفاوت بودن مکان پیکهای آلومینیوم در نمونه ها بیانگر این مطلب است که برای شکل گیری نانوذرات ابتدا اتمهای آلومینیوم از هدف کنده شده اند و سپس تحت فشار هیدرودینامیکی ایجاد شده در پلاسمای شکل گرفته روی سطح هدف اتمها پیوند خورده و نانوذرات شکل گرفته اند.



شکل ۳- نتیجه آزمایش پراش اشعه X آلومینیوم حاصل از کندگی لیزری با انرژی های مختلف در آب

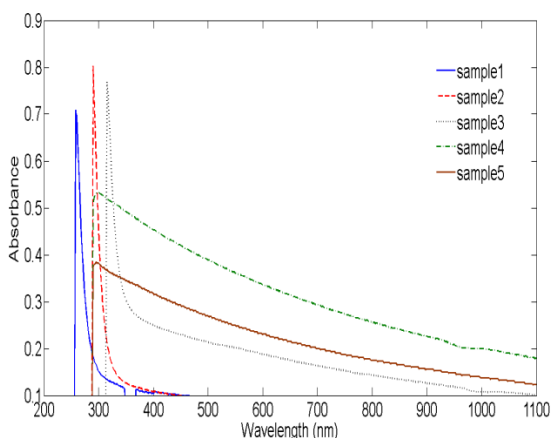
۴-۳ تصویربرداری SEM

جهت تصویربرداری SEM چند قطره از محلول های حاوی نانوذرات سنتز شده به روش کندگی لیزری را به طور جداگانه روی فویل های آلومینیومی ریخته و خشک می کنیم. شکل ۴ تصاویر حاصل از تصویربرداری میکروسکوپ الکترونی SEM از سطح نانوذرات آلومینیوم سنتز شده در آب م قطر را نشان می دهد. به طور کلی در تصویربرداری SEM ذرات کمتر از ۲۰ nm به سختی قابل روئیت هستند. به عبارتی هدف از این عکسبرداری عمدتاً بررسی کلوخه ای شدن نمونه ها، چسبندگی، و ایجاد کلوئیدها و شکل کلی ذرات می باشد. همان گونه که در شکل های ۴ مشاهده می شود غلظت ذرات در نمونه ها کم است، که البته می توانستیم با افزایش زمان کندوسوز تعداد آنها را افزایش دهیم. مطابق آنچه در شکل ها دیده می شود نانوذرات ایجاد شده در نمونه های ۱ و ۲ بدوضوح دیده نمی شوند، و آنچه در این دو شکل مشخص است کلوخه های نانوذرات است، ولی در نمونه های ۳، ۴ و ۵ نانوذرات در کنار کلوخه ها قابل مشاهده هستند. در این شکل ها نیز روند اندازه تکرار شده، به طوری که از نمونه ۱ تا ۳ سایز نانوذرات و یا کلوخه ها افزایش یافته است و در نمونه های

جدول ۱- مکان پیک جذب پلاسمونی نانوذرات آلومینیوم

شماره نمونه	۵	۴	۳	۲	۱
انرژی پالس (J/cm ²)	۳	۲/۵	۲	۱/۵	۱
طول موج پیک (nm)	۲۹۶	۲۹۸	۳۰۹	۲۹۰	۲۵۸

که در شکل ۲ مشاهده می کنیم از نمونه ۱ تا ۳ پیک جذب پلاسمونی شیفت رو به کرمز دارند، و در نمونه ۴ و ۵ قله جذب پلاسمونی به سمت طول موج های کوچکتر رفته است. مطابق نظریه مای- درود از نمونه ۱ تا ۳ با افزایش انرژی (پالس) لیزر اندازه نانوذرات بزرگتر شده است و پس از آن ذرات کوچکتری تولید شده اند. این موضوع در تغییر شکل پیک پلاسمونی نیز به چشم می خورد. پیک جذب پلاسمونی نمونه های ۴ و ۵ پهن شدگی قابل توجهی نسبت به ۳ پیک دیگر دارند، که این موضوع نیز طبق نظریه مای- درود دلیلی بر کاهش اندازه نانوذرات است.



شکل ۲- طیف جذب محلول کلوئیدی نانوذرات آلومینیوم حاصل از کندوسوز لیزری در آب م قطر

۳-۳ مطالعات پراش اشعه X

مطالعات پراش اشعه X برای شناسایی جنس و ساختار کریستالی مواد سنتز شده انجام می شود. به همین منظور حجم مشخصی از محلول کلوئیدی نانوذرات آلومینیوم را به روش کندگی لیزر داخل محیط آب، تهیه کرده و پس از قرار دادن در فضای باز روی زیر لایه سیلیکون خشک کردیم. در شکل ۳ طیف پراش اشعه X حاصل از پودر نتیجه کندوسوز لیزری در محیط آب نشان داده شده است. بیشترین چیزی که در XRD شاهد آن هستیم تشکیل صفحات کریستالی اکسید آلومینیوم است. پیک

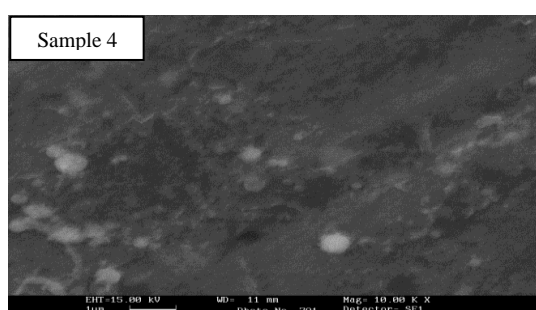
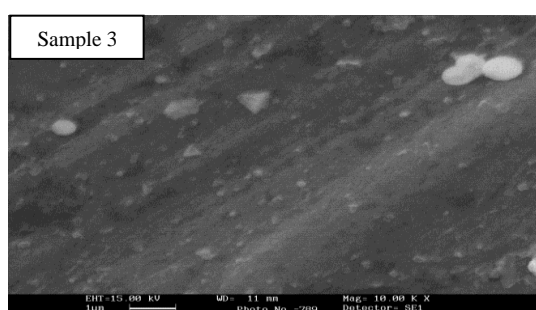
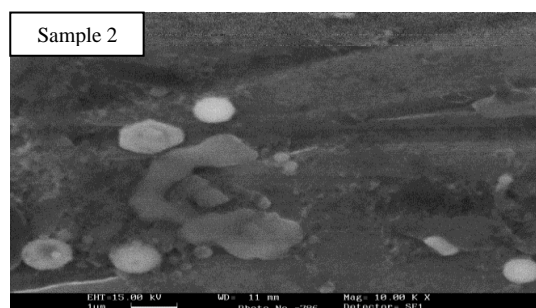
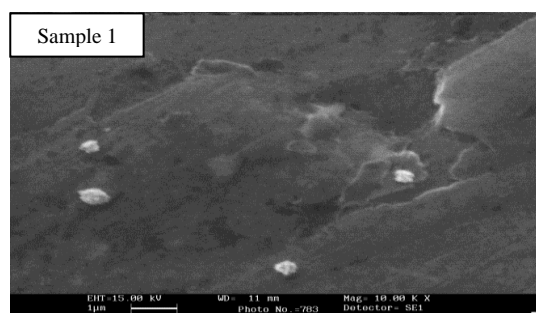
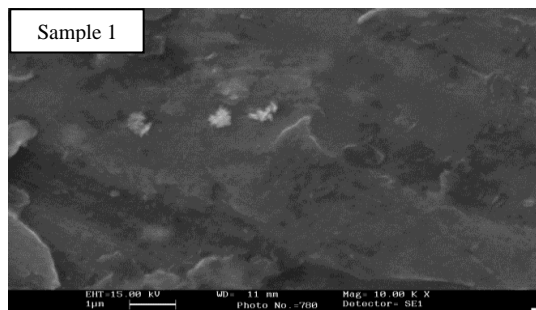
۴ و ۵ اندازه‌ها کاهش یافته‌اند. مطابق تصاویر به‌دست آمده در شکل ۴ توسط میکروسکوپ الکترونی انعکاسی عکسبرداری با بزرگنمایی ۱۰۰۰۰ برابر توسط الکترون‌هایی با انرژی ۱۵ keV انجام شده است. همان‌طور که از شکل‌ها مشاهده می‌شود در کلیه نمونه‌ها نانوذرات کروی هستند.

۴- نتیجه‌گیری

در این تحقیق بر سنتز نانوذرات آلومینیوم با استفاده از فرایند کندوسوز لیزری در آب مقطر تمرکز شده است. مکان پیک جذب پلاسمونی نانوذرات تولید شده در طیف-سنجی جذبی از نانوذرات در محدوده ۲۵۸nm-۲۹۸nm می‌باشد. مکان این پیک از نمونه ۱ تا ۳ مکان انتقال به سمت قرمز و در نمونه ۴ و ۵ انتقال به سمت آبی را دارد. آنالیز SEM کلخه‌ای شدن نمونه‌ها را نشان می‌دهد و نیز از این آنالیز می‌توان نانوذرات کروی شکل را مشاهده کرد.

مراجع

- [۱] علی شکوه فر، کسری مؤمنی، مقدمه‌ای بر نانوتکنولوژی، انتشارات نشر گستر، ۱۳۸۴
- [۲] C.L. Sajti, R. Sattari, B.N. Chichkov, S. Barcikowski, A 100, 203 (2010)
- [۳] S. Barcikowski, A. Hahn, A. V. Kabashin, B.N. Chichkov, *Appl. Phys. A* 87, 47 (2007)
- [۴] Syed Hamad, G Krishna Podagatlapalli, S. Sreedhar, Surya P. Tewari, S. Venugopal Rao, "Femtosecond and picosecond ablation of nanoparticles and nanostructures and their optical characterization", Vol 9



شکل ۴- تصاویر حاصل از تصویربرداری میکروسکوپ الکترونی (SEM) از سطح نانوذرات آلومینیوم با بزرگنمایی ۱۰۰۰۰ بر [Sample 5]